



Instituto Geológico
y Minero de España

Álbum Fotográfico

Documentación complementaria MAGNA
hoja E.1:50.000

Cariño

1 (06-02)



1012 Brecha tectónica plegada posteriormente; en punta Candelaria



1013 Detalle del contacto mecánico entre anfibolitas de Purrido y paraneises con anfibolitas.



1014 Vista del contacto mecanizado entre anfibolitas de Purrido y los paraneises con intercalaciones básicas y ultrabásicas.



1015 Otro aspecto del contacto expresado en la foto anterior.



1016 Pliegues F4 de plano axial subvertical con desarrollo incipiente de esquistosidad de “strain slip” en neises de Punta Candelaria



1017 Vista panoramica del talud creado por las ultrabasitas de Herveira al N de S. de Andres de Teixido.



1018 Micropliegue de fase 2 en granulitas de Vacariza



1019 Pliegue de fase 3 en la facies bandeada de granulitas de Vacariza



1020 Pliegues pigmáticos en las granulitas básicas de Vacariza



1021 Cuerpos alantoideos en granulíticas básicas bandeadas



1022 Otro aspecto de pliegues F3 postmigmatíticos en granulitas básicas de Vacariza



1023 Mesopliegues producidos por F3 que configura las macroestructuras de la hoja; afectados por determinación posterior de gran radio que causa en los neises de Cariño crenulación.



1024 “Boudins” causados por interferencias de fases F₂, F₃ en neises, con intercalaciones más cuarcíticas (lechos competentes).



1025 Cabeza de pliegue de fase 3 plegada por fase posterior en paraneises de Cariño



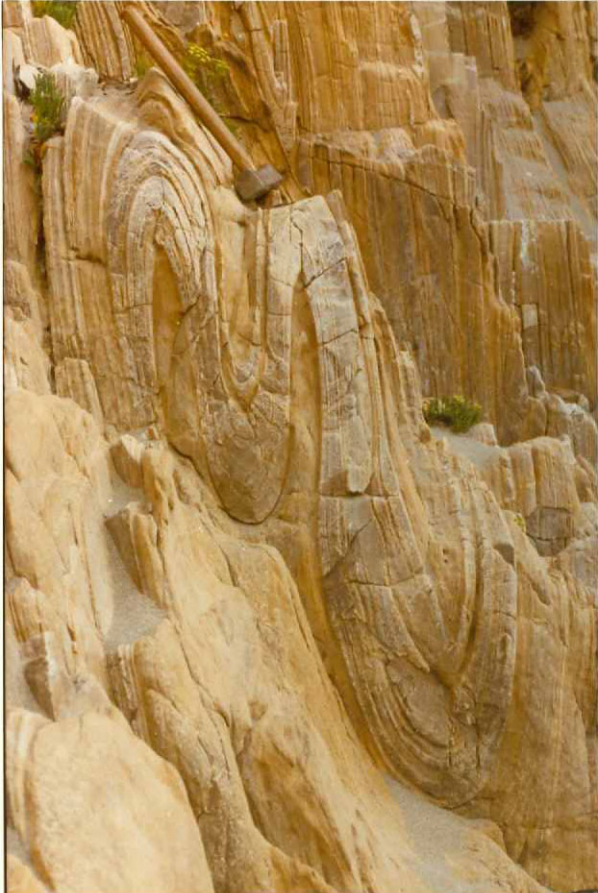
1026 Microcrenulación subvertical en neises de Cariño, con desarrollo de esquistosidad de fractura (strainslip).



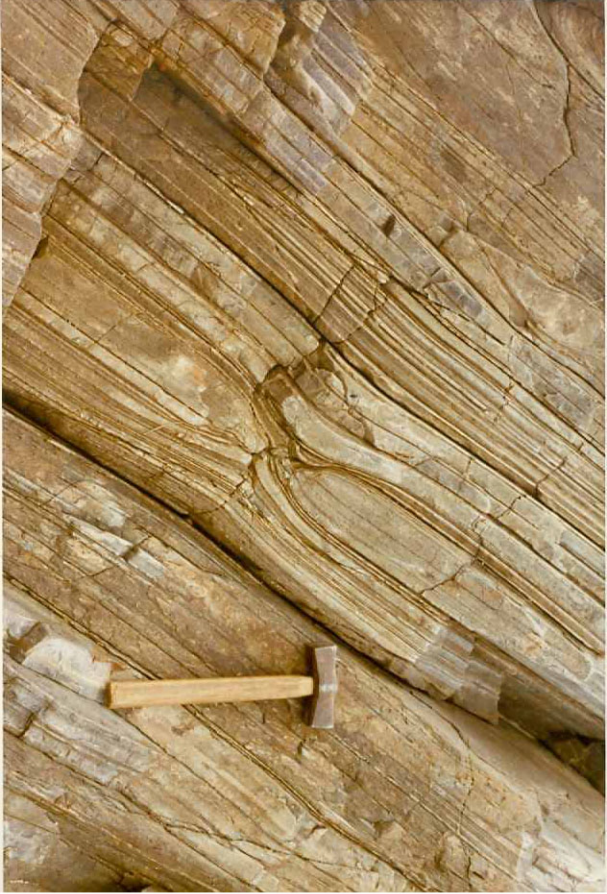
1027 Mesopliegues F3 de vergencia acusada al E y plano axial de subhorizontal a inclinado al E en paraneises de Cariño; posteriormente afectados por pliegues de gran radio F4 .



1028 Banda de neises leptinítico y “boudins” producidos por F₂ , F₃ en los paraneises de Cariño



1029 Plegamiento isoclinal tipo similar en paraneises de Cariño producidos por F3 .



1030 “Boudins” producidos durante F2 en paraneises tipo Cariño.



1031 Interferencia de plegamiento F3, F4 en paraneises de Cariño.



1032 Replegamientos producidos por F3 y F4 en anfibolitas tipo Purrido, con intercalaciones de esquistos granatíferos. Punta Candelaria.